



Vol. 12, No. 2, 1383/2004 Fall & Winter



Rubidium X-ray intensity enhancement by strontium

S.B. Dilmaghani, K. Rajabi

X-Ray Lab. Faculty of Physics, Tabriz University, Tabriz, Iran
E-mail: saeidbaradaran@hotmail.com

(Received: 30/9/2003, received in revised form: 25/05/2004)

Abstract: In this research work a rather new method was used to detect trace elements of small quantities. For this, X-ray intensity enhancement effect and standard samples of BAS Company were employed. In the standard sample a small amount of Rubidium was present, which by adding some quantities of SrCo_3 to the sample the XRF characteristic peaks of Rubidium were enhanced. This effect proved to be applicable for detecting trace elements.

Keywords: Intensity Enhancement Effect, Chemical Element Detection, Rubidium, XRF.



تقویت فلورسانی پرتو X رو بیدیوم با استرانسیوم

سعید برادران دیلمقانی، کامران رجبی

دانشگاه تبریز، دانشکده فیزیک، آزمایشگاه پرتو X

پست الکترونیکی: saeidbaradar@hotmai.com

(دریافت مقاله ۱۳۸۲/۷/۱۰ ، دریافت نسخه نهایی ۱۳۸۳/۳/۵)

چکیده: در این کار پژوهشی از روش تازه‌ای برای آشکارسازی عناصری که به مقدار بسیار کم در ترکیبها وجود دارند، استفاده شده است. برای این منظور، از اثر تقویت پرتو X و نمونه‌های استاندارد شرکت BAS (شرکت تولیدکننده پودرهای استاندارد) استفاده شد. در نمونه مورد آزمایش مقدار بسیار کمی رو بیدیوم وجود دارد که با اضافه کردن مقداری کربنات استرانسیوم شدت پرتو X گسیلی آن افزایش می‌یابد. این پدیده می‌تواند در تشخیص وجود ناچیز عناصر بسیار مهم باشد.

واژه‌های کلیدی: اثر تقویت شدت، آشکارسازی عناصر شیمیایی، رو بیدیوم، XRF

مقدمه

گاهی ممکن است که یک عنصر به مقدار بسیار ناچیزی با عنصر همسایه خود با عدد اتمی بالاتر در جدول تناوبی، آمیخته شود. برای تشخیص میزان این قبیل عناصر، روش XRF کارایی ویژه‌ای دارد. زیرا در این شرایط، عنصر مورد کاوش نه تنها توسط پرتو X فرودی اولیه برانگیخته می‌شود (برانگیزش اول یا اصلی)، بلکه بوسیله تابش‌های فلورسانی عناصر مجاور خود نیز برانگیخته خواهد شد (برانگیزش های دوم و سوم و ...)[۱]. بنابراین، اگرچه قله‌ها ضعیف هستند اما در طیف سرشتی XRF کل ماده، قابل تشخیص می‌باشند [۲].

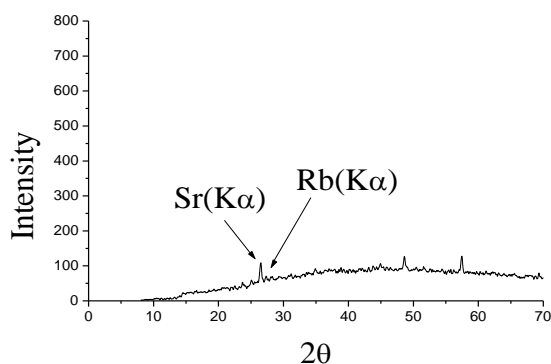
مثلاً برای آشکار کردن آهن در سنگ معدن روی، که معمولاً مقدار آن بسیار ناچیز است، از آنجا که طول موجه‌ای nm Zn(K α) = ۰,۱۴۳۷ و Zn(K β) = ۰,۱۲۹۶ از زیر لبه جذب آهن (۰,۱۷۷ nm) قرار دارند لذا به خوبی توسط آهن جذب می‌شوند. بنابراین، علاوه بر پرتو X فرودی، تابش‌های Zn(K α) و Zn(K β) نیز قادر به برانگیختن اتمهای آهن هستند. از این رو، شدت پرتو گسیل شده β و K α آهن افزایش می‌یابد [۳].

روش کار

آزمایشها روی عنصر رو بیدیوم و با استفاده از دستگاه XRF (SRS200 SIEMENS) (دانشکده فیزیک دانشگاه تبریز، انجام گرفت. نوع بلور به کار رفته LiF100 بود و برای تحلیل داده‌ها نیز از نرم افزار کامپیوترا استفاده شد[۴]. برای ساختن نمونه‌ها از پودرهای استاندارد شرکت BAS انگلستان (نمونه ۳۷۶ BCS No. 376) استفاده شد. این نمونه‌ها در شرکت مذکور به روشهای مختلف آنالیز می‌شوند و مقدار دقیق عناصر در آنها مشخص است که دارای اعتبار جهانی است. داده‌های ارائه شده توسط این شرکت برای نمونه مورد استفاده در این تحقیق در جدول ۱ آمده است. نخست طیف XRF از این نمونه تهیه شد که در شکل ۱ ارائه شده است.

جدول ۱ نتیجه تحلیل نمونه ۳۷۶ BCS No.

Analyst No.	SiO ₂ %	TiO ₃ %	Al ₂ O ₃ %	Fe ₂ O ₃ %	CaO %	Na ₂ O %	K ₂ O %	MgO %	Loss on Ignition %
۱	۶۷,۱	<۰,۰۱	۱۷,۷۴	۰,۱۰	۰,۵۰	۲,۸۲	۱۱,۲۷	۰,۰۳	۰,۳۸
۲	۶۷,۰	<۰,۰۱	۱۷,۷۴	۰,۱۰	۰,۴۹	۲,۸۱	۱۱,۲۴	۰,۰۲	۰,۳۱
۳	۶۷,۱	<۰,۰۱	۱۷,۶۷	۰,۰۹	۰,۵۳	۲,۷۶	۱۱,۲۹	۰,۰۴	۰,۴۱
۴	۶۷,۳	..	۱۷,۶۶	۰,۱۱	۰,۵۸	۲,۷۸	۱۱,۲۵	۰,۰۵	۰,۳۳
۵	۶۷,۲	۰,۰۲	۱۷,۷۵	۰,۱۰	۰,۵۴	۲,۷۷	۱۱,۱۴	۰,۰۲	۰,۴۶
۶	۶۷,۰	..	۱۷,۷۰	۰,۱۰	۰,۵۳	۲,۹۲	۱۱,۱۹	۰,۰۴	۰,۳۹
۷	۶۷,۳	۰,۰۱	۱۷,۶۴	۰,۱۰	۰,۵۸	۲,۸۱	۱۱,۲۲	..	۰,۳۱
۸	۶۶,۹	۰,۰۲	۱۷,۷۶	۰,۱۰	۰,۵۶	۲,۹۲	۱۱,۲۹	۰,۰۳	۰,۳۲
۹	۶۷,۱	۰,۰۱	۱۷,۷۲	۰,۱۰	۰,۵۴	۲,۸۶	۱۱,۲۲	۰,۰۴	۰,۳۴
Average	۶۷,۱	<۰,۰۲	۱۷,۷	۰,۱۰	۰,۵۴	۲,۸۳	۱۱,۲

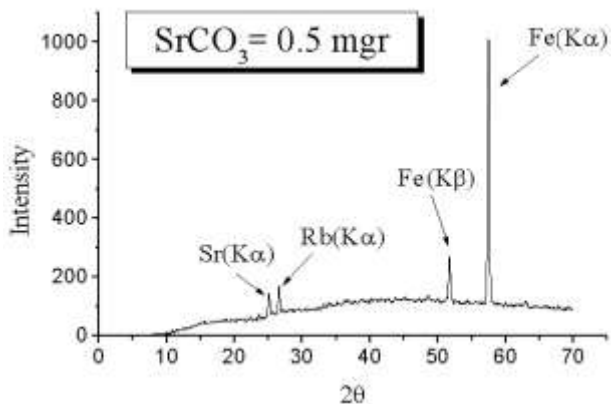


شکل ۱ طیف XRF نمونه استاندارد ۳۷.BCS No.

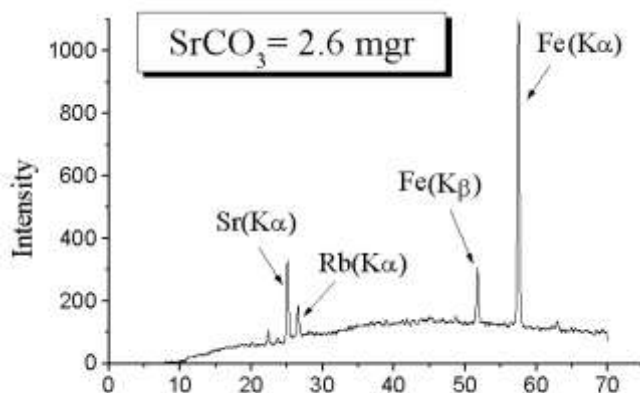
سپس، هر یک از ترکیب‌های زیر به‌طور جداگانه به نمونه اصلی اضافه شدند:

MnO_2 برای Fe_2O_4 و SrCO_3 برای Mn

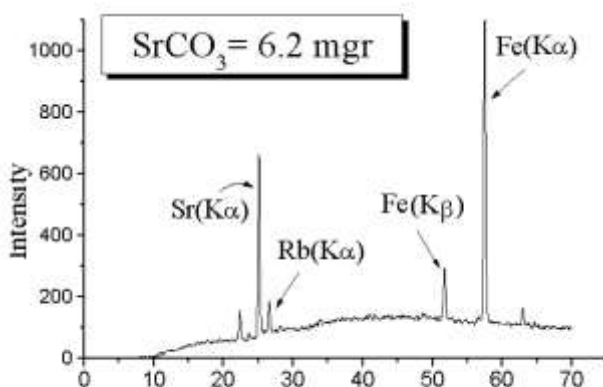
برای توزین از ترازوی الکترونیکی با دقت میکروگرم استفاده شد. شش نمونه محتوی مقداری مختلف کربنات استرانسیوم آماده و طیف XRF آنها تهیه شد که سه مورد از آنها در شکل‌های ۲ تا ۴ نشان داده شده است. میزان افزایش شدت‌ها برای هر خط طیفی در جدول ۲ آمده است. چنان‌که از شکل‌های ۲ تا ۴ و جدول ۲ پیداست، شدت فلورسانی پرتو X گسیلی از عنصر روبيديوم به‌طور قابل ملاحظه‌ای با افزایش عنصر استرانسیوم به نمونه افزایش می‌يابد. يادآور می‌شود که افزودن ترکیب‌های دیگر تأثیری بر افزایش شدت روبيديوم ندارد که علت آن بعداً بررسی خواهد شد.



شکل ۲ اثر افزودن 0.5 mgr کربنات استرانسیوم بر طیف XRF نمونه استاندارد ۳۷.BCS No.



شکل ۳ اثر افزودن ۲.۶ mgr کربنات استرانسیوم بر طیف XRF نمونه استاندارد BCS No. 37.



شکل ۴ اثر افزودن ۶.۲ mgr کربنات استرانسیوم بر طیف XRF نمونه استاندارد BCS No. 37.

جدول ۲ شدت قله‌ها به ازای افزایش SrCO_۳

SrCO ₃ اضافه شده بر حسب گرم	مقدار
شدت خالص برای Sr (P/sec)	۴۲۷
شدت خالص برای Rb (P/sec)	۶۴

بحث و برداشت

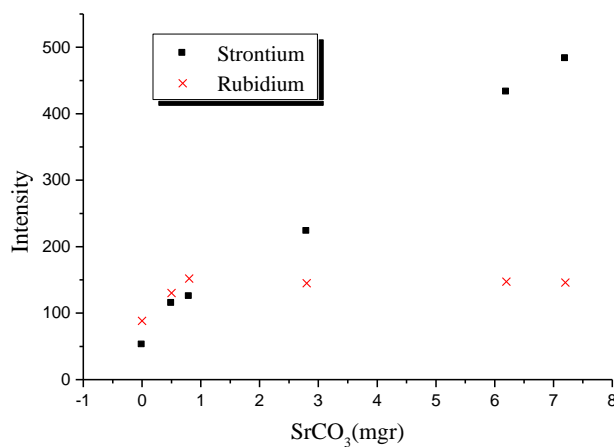
برای بررسی علت این پدیده باید به بررسی پرتوهای گسیل شده از عناصر و لبّه جذب رو بیدیوم بپردازیم. لبّه جذب رو بیدیوم در ۰.۰۹۲۵ nm (لبّه جذب K) واقع است و طول موج پرتوهای گسیل شده به وسیله عناصر دیگر به صورت زیر است:

$$\text{Sr(K}\alpha\text{)} = 0.0875 \text{ nm}, \quad \text{Sr(K}\beta\text{)} = 0.0783 \text{ nm}$$

$$\text{Fe(K}\alpha\text{)} = 0.1937 \text{ nm}, \quad \text{Fe(K}\beta\text{)} = 0.1757 \text{ nm}$$

$$\text{Mn(K}\alpha\text{)} = 0.2102 \text{ nm}, \text{ Mn(K}\beta\text{)} = 0.1911 \text{ nm}$$

مقایسه اعداد بالا با لبۀ جذب رو بیدیوم نشان می دهد که تنها استرانسیوم می تواند باعث برانگیختگی رو بیدیوم شود. در شکل ۵، این افزایش شدت بر حسب افزایش مقدار استرانسیوم در نمونه ها نشان داده شده است. چنانکه انتظار می رفت مقادیر به دست آمده برای استرانسیوم برآش خطی و برای رو بیدیوم برآش هذلولی دارد. این مسئله نشان می دهد که تقویت فلورسانی پرتو X رو بیدیوم توسط استرانسیم، فقط تا مقدار مشخصی از استرانسیوم (در حدود ۴/۵ میلی گرم) رخ می دهد و پس از آن تقویت ثابت باقی می ماند. در این روش، شدت اندازه گیری شده قله رو بیدیوم در نمونه BCS No.376 در حدود سه برابر مقدار اندازه گیری شده آن در نمونه اولیه است که می تواند راه حل مناسبی برای آشکارسازی عناصر به مقدار اندک باشد.



شکل ۵ مقایسه افزایش شدت در استرانسیوم و رو بیدیوم.

مراجع

- [1] Shiraiwa T., Fujino N., Jap. Appl. Physics 5 (1966) 886-889.
- [۲] برادران دیلمقانی سعید، "مرزهای جدید برای تشخیص عناصر به روش فلورسانی پرتو ایکس"، مجله بلورشناسی و کانی شناسی ایران، شماره ۱ و ۲ (۱۳۷۵) صفحات ۴۷ تا ۵۲.
- [3] Williams K.L., "Introduction to X-Ray Spectrometry", Allen & Unwin, Boston (1987) 191-192.
- [۴] برادران دیلمقانی سعید، بالازاده بهار حسین، پرتوی ناصر، "تحلیل کامپیوترا داده های پراش سنجی و طیف سنجی پرتو ایکس"، مجله بلورشناسی و کانی شناسی ایران، شماره ۱ (۱۳۷۴) صفحه ۱۵ تا ۲۲.